

Vysoká škola strojní a textilná v Liberci
nositelka Rádu práce

Fakulta textilná

obor 31-20-8

Automatizované systémy riadenia v spotrebnom priemysle

Katedra technickej kybernetiky

KTK ASR - TF 080

Overenie vlastností adaptívneho číslicového regulačného
obvodu.

Autor práce: Ján Nagy

Vedúci práce: Ing. Osvald Modrlák
VŠST Liberec

Konzultant: Ing. Osvald Modrlák
VŠST Liberec

Rozsah práce a príloh

Počet strán: 56

Počet príloh: 10

Počet obrázkov: 6

Počet tabuliek: 15

V Liberci 24.5.1984

Vysoká škola: VŠST Liberec Fakulta: textilní
Katedra: technické kybernetiky Školní rok: 1983/84

ZADÁNÍ DIPLOMOVÉ PRÁCE (PROJEKTU, UMĚLECKÉHO DÍLA, UMĚLECKÉHO VÝKONU)

pro s. Jana Nagy
obor 31-20-8 ASŘ ve spotřebním průmyslu

Vedoucí katedry Vám ve smyslu nařízení vlády ČSSR č. 90/1980 Sb., o státních závěrečných zkouškách a státních rigorózních zkouškách, určuje tuto diplomovou práci:

Název tématu: Ověření vlastností adaptivního číslicového regulačního obvodu

Zásady pro vypracování:

- 1) Prostudujte z uvedené literatury /3/ návrh identifikační metody
- 2) Prostudujte z literatury /3/ návrh algoritmu
- 3) Určete vzájemnou korelační funkci $R_{u_x}(i)$ mezi akční veličinou a chybami identifikace pomocí simulací na číslicovém počítači
- 4) Pro simulační výpočty upravte programy, které jsou již vypracovány
- 5) Proveďte rozbor získaných výsledků

VYSOKÁ ŠKOLA STROJNÍ A TEXTILNÍ
Ústřední knihovna
LIBEREC 1, STUDENTSKÁ 1
PSČ 461 17

Autorské právo se řídí směrnicemi
MŠK pro státní záv. zkoušky č.j. 31
727/62-III/2 ze dne 13. července
1962-Věstník MŠK XVII, sešit 24 ze
dne 31.8.1962 § 19 aut. z č. 115/53 Sb.

V 80/84 T

Poďakovanie.

Ďakujem svojmu konzultantovi a vedúcemu diplomovej práce Ing.Osvaldovi Modrlákovi za odborné vedenie pri výpracovaní mojej diplomovej práce.

Zoznam symbolov použitých v tabuľkách.

- S - pôvodná sústava
R - optimálny regulátor pre S
 S_I - sústava po identifikácii
 R_I - regulátor po identifikácii
 S_A - sústava po adaptácii
 R_A - regulátor po adaptácii
 S_Z - sústava po zmene
 R_Z - optimálny regulátor pre S_Z
 S_{AZ} - sústava po adaptácii po zmene
 R_{AZ} - regulátor po adaptácii po zmene
 J_O - kvadratické kritérium pre S a R
 J_I - kvadratické kritérium pre S a R_I
 J_A - kvadratické kritérium pre S a R_A
 J_Z - kvadratické kritérium pre S_Z a R_Z
 J_{AZ} - kvadratické kritérium pre S_Z a R_{AZ}
 J_{ZA} - kvadratické kritérium pre S a R_{AZ}
 J_{ZI} - kvadratické kritérium pre sústavu identifikovanú
v priebehu spojitej zmeny a jej optimálny regulá-
tor
 σ_I - odchýlka medzi J_O a J_I v %
 σ_A - odchýlka medzi J_O a J_A v %
 σ_{ZA} - odchýlka medzi J_O a J_{AZ} v %
 σ_{AZ} - odchýlka medzi J_Z a J_{AZ} v %
 σ_{ZI} - odchýlka medzi J_Z a J_{ZI} v %

O B S A H .

1.	Úvod	7
2.	Teoretická časť	9
2.1.	Adaptívne riadenie	10
2.2.	Identifikácia parametrov modelu	11
2.2.1.	Metóda najmenších štvorcov	12
2.2.2.	Identifikácia regulovaného systému v uzavorennej slučke	18
2.3.	Návrh optimálneho riadenia pre adaptívne systémy	24
2.3.1.	Formulácia úlohy optimálneho riadenia pre adaptívne riadiace systémy	24
2.4.	Návrh algoritmu riadenia pre optimálne vyrovnanie nemerateľnej poruchy sústav popísaných stochastickou diferenčnou rovnicou	27
2.5.	Popis riadeného systému pre konečný interval riadenia	28
3.	Simulácia	30
4.	Zhodnotenie a záver	54
	Zoznam použitej literatúry	56

1. Úvod

Na XVI. zjazde KSČ bol na obdobie 7.päťročného plánu uvedený ako hlavný cieľ politiky strany udržať a skvalitniť dosiahnutú vysokú životnú úroveň. Dosiahnutie tohto cieľa je možné iba dodržaním Generálnej línie budovania rozvinutej socialistickej spoločnosti. Z Generálnej línie sú odvozené aj dielčie plány a vyplývajú z nej aj úlohy vedecko-technického rozvoja na ďalšie obdobie.

Medzi základné úlohy vedeckotechnického rozvoja patrí aj väčšie zameranie na uplatnenie vyššieho stupňa mechanizácie, automatizácie a robotizácie výrobných procesov.

V poslednom období sa intenzívne rozvíja elektronizácia a automatozácia, čo viedie k uplatňovaniu počítačov vo všetkých oblastiach ľudskej činnosti. Zvlášt dôležité je využitie počítačov v oblasti organizačnej práce človeka, čo viedie k vytváraniu nového, kvalitnejšieho systému riadenia typu človek - stroj. Výsledkom toho je vyššia efektívnosť a kultúra výroby. Rozvoje technickej kybernetiky, automatizácie a elektronizácie dosiahol takého stupňa, že boli vypracované teórie a metódy riadenia, ktoré umožňujú využívať vyššie typy kybernetických systémov, ktoré sú schopné prispôsobovať svoje vlastnosti meniacim sa pracovným podmienkám a aj sa samočinne zdokonalovať. Tieto systémy sa nazývajú adaptívne a učiace sa systémy.

Táto diplomová práca sa zaoberá overením vlastností adaptívneho čislicového regulačného obvodu. Pre overenie vlastností boli vypracované a odladené programy v programovacom jazyku FORTRAN IV. Pre odladenie bol použitý čislicový počítač EC 1033.

2. TEORETICKÁ ČASŤ.

2.1. Adaptívne riadenie.

Rozvoj kybernetiky a teórie systémov priniesol do teórie riadenia nové prvky, preberané z vlastností živých organizmov. Vzniká a rozvíja sa teória adaptívnych a učiacich sa systémov. Adaptívne riadenie súvisí s učiacimi sa systémami.

Adaptivita je prispôsobovanie sa podmienkam, danému prostrediu alebo jeho zmenám. Je vyjadrená stratou, ktorú organizmus vynaloží na adaptáciu. Adaptívny systém pracuje v nejakom prostredí, ktorého jednotlivé prejavy x sú reprezentované množinou X . Tento systém musí dostávať informácie Ω o požadovanom chovaní. Skutočné chovanie je predstavované výstupom ω . Toto chovanie je dané rozhodovacím pravidlom

$$\omega = d(x, q)$$

kde ω je jeden z výstupných symbolov

q je premenlivý parameter systému

x je prejav prostredia

Každé priradenie $[x, \Omega]$: je sprevádzané určitou stratou $Q(x, \Omega, q)$, čo je vlastne cena, zaplatená za adaptivitu. Potom cieľom činnosti adaptívneho systému je pre každé $[x, \Omega]$ realizovať také priradenie ω , pre ktoré bude strata Q minimálna.

Optimálne riadenie je cielavedomé pôsobenie na daný objekt, výsledkom toho je dosiahnutie daného cieľa pri splnení daných podmienok a obmedzení.

2.2. Identifikácia parametrov modelu.

Aby sme mohli navrhnuť optimálny riadiaci algoritmus, musíme poznáť dynamické chovanie reguloowanej sústavy. Dynamické chovanie sa dá vyjadriť buď matematickým zápisom - diferenciálne alebo diferenčné rovnice, váhové alebo frekvenčné funkcie, prechodové funkcie, obrazové prenosy ; alebo graficky - prechodová alebo frekvenčná charakteristika.

Pri určovaní dynamických vlastností systému sa dá postupovať dvoma spôsobmi.

1. Matematicko-fyzikálna analýza. Vychádzame pri tom z konštrukčných údajov o sústave a z matematického popisu javov. Dostaneme sústavu algebraických a diferenciálnych rovnic prvého rádu. Ak je popis úplný, rovnice usporiadame do stavových rovnic. Vstupnými veličinami sú akčné signály alebo poruchové veličiny.
2. Experimentálna analýza. Matematický model sa určuje pomocou údajov zmeraných na vstupe a výstupe. Rozlišujeme dve metódy experimentálnej analýzy;
 - a/ deterministické - predpokladáme určitý počiatočný stav a jednoduchý vstup.
 - b/ stochasticke - umožňujú pripúštať lubovoľný, neurčený počiatočný stav a vstupný signál. Kvalitu odhadu môžme vyjadriť štatisticky, napr. kovariančnou maticou, rozptylom.

V tejto práci sa zaoberám stochasticou identifikáciou. Medzi najznámejšie stochasticke metódy patrí metóda najmenších štvorcov a metóda maximálnej vierohodnosti.

2.2.1. Metóda najmenších štvorcov.

Hodnoty, ktoré meráme na vstupe a výstupe sústavy, nie sú presné, pretože na vstupe okrem užitočného vstupného signálu u pôsobí aj nemerateľný rušivý signál w a výstupné veľičiny meráme s chybou v .

Stavové rovnice sú v tvare:

$$x/k+1/ = A \cdot x/k/ + B \cdot u/k/ + w/k \quad 2.2.1 - 1$$

$$y/k/ = C \cdot x/k/ + D \cdot u/k/ + v/k \quad 2.2.1 - 2$$

Ak uvažujeme lineárny regresný model s konečnou pamäťou, môžme ho obecne vyjadriť v tvare:

$$y/k/ = r/k, y_{(0)}^{(k-1)}, u_{(0)}^{(k)}, v_{(0)}^{(k-1)} / + e/k \quad 2.2.1 - 3$$

kde

$y_{(0)}^{(k-1)}$ je postupnosť $y/0/, y/1/, \dots, y/k-1/$

$u_{(0)}^{(k)}$ je postupnosť $u/0/, u/1/, \dots, u/k/$

$v_{(0)}^{(k-1)}$ je postupnosť $v/0/, v/1/, \dots, v/k-1/$

$r/k/ = \varepsilon /y/k/ | y_{(0)}^{(k-1)}, u_{(0)}^{(k)}, v_{(0)}^{(k-1)} /$ je podmienená stredná hodnota.

$e/k/$ je náhodná zložka transformácie, vyjadrenej regresnou funkciou $r/k/$ minulej historie vstupných a výstupných signálov na súčasný výstup $y/k/$.

Rovnicu 3.2.1 - 3 môžeme prepísať v tvare :

$$y/k/ = \sum_{i=1}^N Q_i \cdot y/k-i/ + \sum_{i=0}^N P_i \cdot u/k-i/+e/k \quad 2.2.1 - 4$$

za predpokladu, že všetky veličiny meráme od ich dlhodobých priemerov. Matice Q_i a P_i sú matice regresných koeficientov.

Túto rovnicu môžeme prepísat do tvaru;

$$y_{k/} = \Theta^T \cdot z_{k/} + e_{k/}, \quad k = 1, 2, \dots \quad 2.2.1 - 5$$

kde

$$\Theta^T = [P_N, Q_N, \dots, P_1, Q_1, P_0] \quad 2.2.1 - 6$$

$$z_{k/} = [u_{k/}^T, u_{k-N/}^T, \dots, u_{k-1/}^T, u_{k-1/}^T, u_{k/}^T]$$

a rozmer matice Θ^T je $[p, v]$, kde $v = N_r / p+r/ + r$,
kde r je počet vstupov a p je počet výstupov.

Rovnicu 2.2.1 - 5 transponujeme na rovnicu

$$y_{k/}^T = z_{k/}^T \cdot \Theta + e_{k/}^T \quad 2.2.1 - 7$$

a napíšeme ju pre $k = 1, 2, \dots, K ; K \geq v$

Dostávame

$$Y = Z \cdot \Theta + E_e \quad 2.2.1 - 8$$

$$Y = \begin{bmatrix} y_1/1/, y_2/1/, \dots, y_p/1/ \\ \vdots \\ y_1/K/, y_2/K/, \dots, y_p/K/ \end{bmatrix}$$

$$Z = \begin{bmatrix} u_1/1-N/, \dots, u_r/1-N/, y_1/1-N/, \dots, y_p/1-N/, \dots, u_1/1/, \dots, u_r/1/ \\ \vdots \\ u_1/K-N/, \dots, u_r/K-N/, y_1/K-N/, \dots, y_p/K-N/, \dots, u_1/K/, \dots, u_r/K/ \end{bmatrix}$$

Rozmery matíc sú

$$Y [K, p]$$

$$Z [K, v]$$

$$\Theta [v, p]$$

$$E_e [K, p] \quad \text{kde } v = N_r / p+r/ + r$$

Pretože postup identifikácie je rovnaký pre jednorozmernú i viacrozmernú sústavu, budeme predpokladať jednorozmernú

sústavu. Potom rovnice 2.2.1 - 8 prepíšeme na tvar príslušný sústave s jedným vstupom a výstupom.

$$y + Z \cdot \nu + e$$

2.2.1 - 9

Súčet štvorcov zložiek odhadov náhodného vektoru e / k je daný výrazom

$$J = \| y - Z \cdot \nu \|^T \cdot \| y - Z \cdot \nu \|$$

2.2.1 - 10

Ak matica $Z^T Z$ je regulárna matica, potom vektor hľadaných parametrov vypočítame zo vzťahu

$$\frac{\partial J}{\partial \nu} = 0 \quad \text{a súčasne musí platiť, že}$$

$$\frac{\partial J}{\partial \nu} \left[\frac{\partial J}{\partial \nu} \right]^T \quad \text{je pozitívne definitná matica.}$$

Dostávame vzťah pre výpočet odhadu parametrov.

$$\nu = \hat{\nu} = (Z^T Z)^{-1} Z^T y$$

2.2.1 - 11

Zvyšovanie počtu parametrov.

V konkrétných prípadoch nie je známy rád sústavy a tým ani počet koeficientov regresného modelu. Výpočet preto začíname s malým počtom koeficientov a ich počet zvyšujeme, ak sa pritom znižuje hodnota kritéria. Nové výpočty nemusíme prevádzta celé, dajú sa použiť predchádzajúce výpočty.

Ak sa počet koeficientov regresného modelu zvýší z n_1 na n_2 , môžeme maticu Z a vektor ν napísat o dvoch poliach:

$$Z = [Z_1 ; Z_2]$$

2.2.1 - 12

$$\nu = \begin{bmatrix} \nu_1 \\ \nu_2 \end{bmatrix}$$

2.2.1 - 13

Potom rovnicu 2.2.1 - 11 môžeme napísat v tvare

$$\begin{bmatrix} z_1^T z_1; z_1^T z_2 \\ z_2^T z_1; z_2^T z_2 \end{bmatrix} \begin{bmatrix} \hat{\nu}_1 \\ \hat{\nu}_2 \end{bmatrix} = \begin{bmatrix} z_1^T \\ z_2^T \end{bmatrix} y \quad 2.2.1 - 14$$

Riešením určíme odhady parametrov:

$$\begin{aligned} \hat{\nu}_1 &= \nu + P_3 z_2^T / z_1 \hat{\nu} - y / \\ \hat{\nu}_2 &= P_2 z_2^T / z_1 \hat{\nu} - y / \end{aligned} \quad 2.2.1 - 15$$

Prevedieme inverziu matice :

$$\begin{bmatrix} z_1^T z_1; z_1^T z_2 \\ z_2^T z_1; z_2^T z_2 \end{bmatrix}^{-1} = \begin{bmatrix} P_1 - P_3 z_2^T z_1 P_1; P_3 \\ P_3^T; P_2 \end{bmatrix} \quad 2.2.1 - 16$$

V rovniciach 2.2.1 - 15 a 2.2.1 - 16 platia vzťahy :

$$\begin{aligned} \hat{\nu} &= / z_1^T z_1 /^{-1} z_1^T y \\ P_1 &= / z_1^T z_1 /^{-1} \\ P_2 &= [z_2^T z_2 - z_2^T z_1 / z_1^T z_1 /^{-1} z_1^T z_2]^{-1} \\ P_3 &= / z_1^T z_1 /^{-1} z_1^T z_2 P_2 \end{aligned} \quad 2.2.1 - 17$$

Inverziu matíc k určeniu zvýšeného počtu parametrov stačí prevádztať rádu $(n_2 - n_1)$. Účinnosť vzťahov sa však prejaví len pri veľkom n_1 a relatívne malom rozdieli $(n_2 - n_1)$.

Zvyšovanie počtu vzorkov.

V praktických prípadoch pri priebežnej identifikácii sa stáva, že počet riadkov K matice Z sa postupne zvyšuje. Bolo by teda neekonomicke opakovať výpočet so staršími informáciami. Pre jeden vstup a jeden výstup zavedieme označenie :

$$\begin{bmatrix} \mathbf{y}_{k+1} \\ \mathbf{z} \end{bmatrix} = \begin{bmatrix} \mathbf{y}_k \\ \mathbf{z} \end{bmatrix}; \quad \begin{bmatrix} \mathbf{z}_{k+1} \\ \mathbf{z} \end{bmatrix} = \begin{bmatrix} \mathbf{z}_k \\ \mathbf{z} \end{bmatrix}$$

2.2.1 - 18

$$\mathbf{z} = [u_{/k+1-N/}, y_{/k+1-N/}, \dots, u_{/k/}, y_{/k/}, u_{/k+1/}]$$

Odhad parametrov podľa najmenšieho súčtu štvorcov chýb je:

$$\hat{\nu}_k = /Z^T Z/^{-1} Z^T y_k$$

2.2.1 - 19

Po úprave dostaneme :

$$\hat{\nu}_{k+1} = \hat{\nu}_k + M/k / (y - z \hat{\nu}_k)$$

2.2.1 - 20

kde

$$M/k = /Z^T Z/^{-1} z^T [1 + z / Z^T Z /^{-1} z^T]^{-1}$$

Prvky matice M/k sú váhové koeficienty. Aby sme ich spočítali, zavedieme :

$$P/k = \alpha / Z^T Z /^{-1}$$

2.2.1 - 21

potom

$$M/k = P/k z^T [\alpha + z P/k z^T]^{-1}$$

2.2.1 - 22

$$\begin{aligned} P/k+1 &= P/k - M/k z P/k = \\ &= [E - M/k z/k+1] P/k \end{aligned}$$

2.2.1 - 23

Odhad parametrov sústavy metódou najmenších štvorcov potom môžeme počítať podľa vzorcov :

$$M/k/ = P/k/ z^T/k+1/ [\alpha + z/k+1/ P/k/ z^T/k+1/]^{-1} \quad 2.2.1 - 24$$

$$P/k+1/ = [E - M/k/ z/k+1/] P/k/ \quad 2.2.1 - 25$$

$$\hat{v}/k+1/ = \hat{v}/k/ + M/k/ [y/k+1/ - z/k+1/ \hat{v}/k/] \quad 2.2.1 - 26$$

Je nutné, aby matica $Z^T Z$ bola regulárna matica. Je zrejmé, že pre $k < 2N + 1$ to však neplatí. Preto musíme žiadať, aby počet meraní K bol rovný aspoň počtu hľadaných parametrov. Pri použití vzorcov 2.2.1 - 24 až 2.2.1 - 26 i na začiatku výpočtu / kedy K je menšie než $2N + 1$ /, postupujeme tak, že volíme $z/k_0/$ o toľkých prvkoch, kolko je hľadaných parametrov.

Prvý odhad :

$$P/k_0/ = \alpha [Z^T/k_0/ Z/k_0/]^{-1}$$

$$\hat{v}/k_0/ = [Z^T/k_0/ Z/k_0/]^{-1} Z^T/k_0/ y/k_0/$$

Ak chceme použiť vzorce, počínajúc krokom $K = 1$, môžeme voľiť $z/0/$ a počítať $P/k/$ podľa vzorca 2.2.1 - 21. Po úprave dostávame :

$$P^{-1}/k/ = P^{-1}/0/ + \frac{1}{\alpha} Z^T/k/ Z/k/ \quad 2.2.1 - 27$$

Pre $k = 1, 2, \dots$ môžeme priamo voliť

$$P/0/ = \frac{1}{\alpha} E$$

2.2.2.

Identifikácia regulovaného systému v uzavorennej slučke.

Identifikácia reguloowanej sústavy v uzavorennej slučke tvorí jeden zo základných problémov adaptívnych systémov riadenia, ak bude uvažovaný prípad, že bude prevádzaná identifikácia pri pevnom regulátore po zvolenú dobu. Tento prípad identifikácie môže nastat napríklad vtedy, ak je používaný pokusne nastavený suboptimálny regulator pre danú technológiu, alebo ak v procese adaptácie sa odhadované koeficienty sústavy už nemenia a tým sa nemení ani nastavenie regulátora. Vychádzame z predpokladu, že v uvedených prípadoch je sústava dostatočne budená buď skokmi žiadaných hodnôt alebo šumovým signálom.

Ak je sústava budená len nemeraným šumom d_k , ide už o pomerne ľahkú úlohu. Sú známe všeobecné podmienky pre lineárne systémy, ktoré je nutné splniť, aby identifikácia bola úspešná. Obecné požiadavky na identifikáciu v uzavorennej slučke je možné formulovať týmto spôsobom :

1. Zvoliť vhodnú štruktúru prediktora.
2. Použiť vhodnú identifikačnú metódu.
3. Zaistiť vhodné budenie systému alebo zadat ďalšie informácie o sústave.

V tejto práci sú uvažované také jednoparametrové lineárne systémy, ktoré je možné popísat stochastickou differenčnou rovnicou v niektornej jej forme.

Uvažujeme matematický popis stochastického systému v jeho prírastkovej forme. Vytvorením zpätnej diferencie

dostaneme popis sústavy pomocou prírastkového modelu.

$$A/s/\Delta y_k = s^r B/s/\Delta u_k + C/s/\Delta d_k + D/s/\Delta dm_k \quad 2.2.2 - 1$$

kde

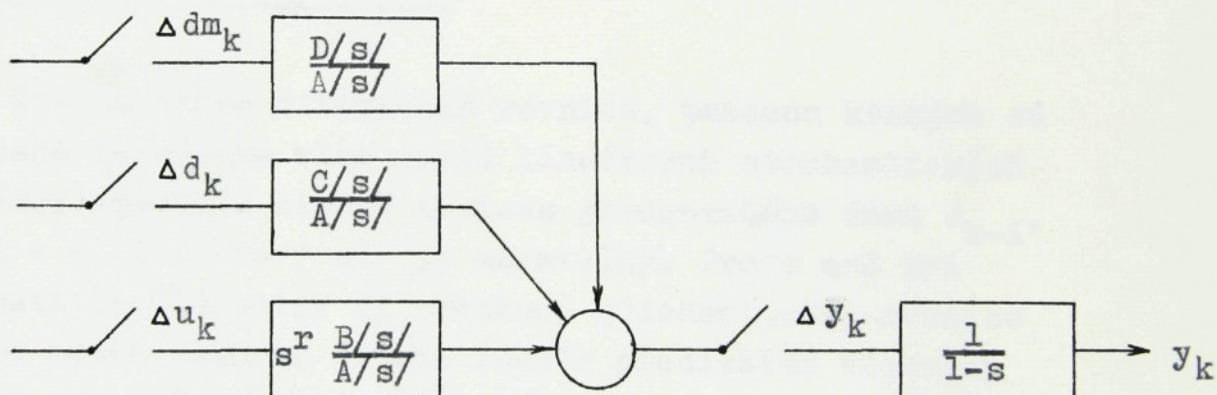
$$\Delta y_k = y_k - y_{k-1}$$

$$\Delta u_k = u_k - u_{k-1}$$

$$\Delta d_k = d_k - d_{k-1}$$

$$\Delta dm_k = dm_k - dm_{k-1}$$

Štruktúra tohto systému je na obr. č. 1.

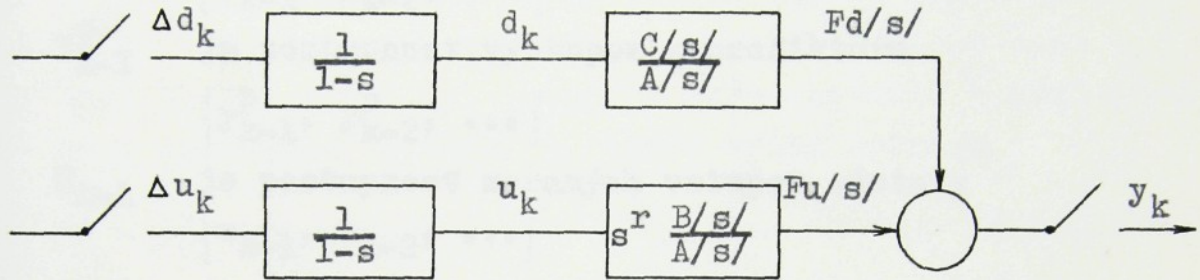


Obr.č.1

Z praktického hľadiska má veľký význam štruktúra stochastického systému, ktorého diferenčná rovnica má tvar :

$$(1-s) A/s/ y_k = s^r B/s/\Delta u_k + C/s/\Delta d_k \quad 2.2.2 - 2$$

Štruktúra je na obr. č. 2.



Obr.č. 2

Volba štruktúry prediktora.

Stochastické diferenčné rovnice, pomocou ktorých sú popísané dynamické vlastnosti lineárnych stochastických systémov obsahujú zložky bieleho gaussovského šumu d_{k-i} , pre $i = 0, l$, ktorý nie je merateľný. Preto ani pri znalosti koeficientov diferenčnej stochastickej rovnice nie je možné pomocou týchto rovníc predikovať výstupný systém pri známych hodnotách vstupu u_{k-i} a výstupu y_{k-i} , pre $i = 1, \dots$. Vzniká teda otázka, akým spôsobom pri známych koeficientoch diferenčnej rovnice je možné predikovať výstup stochastického systému y_k^r pri známych vstupoch a výstupoch. Túto úlohu rieši trieda matematických modelov, ktoré sú nazývané prediktory a ktoré majú obecné tvar:

$$y_k^p = f[Y_{k-1}, U_{k-1}, Y_{k-1}^p, D_k, k]$$

2.2.2 - 3

kde platí

y_{k-1} je postupnosť meraných výstupov sústavy
 $\{y_{k-1}, y_{k-2}, \dots\}$

y_{k-1}^p je postupnosť výstupov z prediktora
 $\{y_{k-1}^p, y_{k-2}^p, \dots\}$

U_{k-1} je postupnosť meraných vstupov sústavy
 $\{u_{k-1}, u_{k-2}, \dots\}$

D_k je postupnosť nemeraných porúch sústavy
 $\{d_k, d_{k-1}, d_{k-2}, \dots\}$

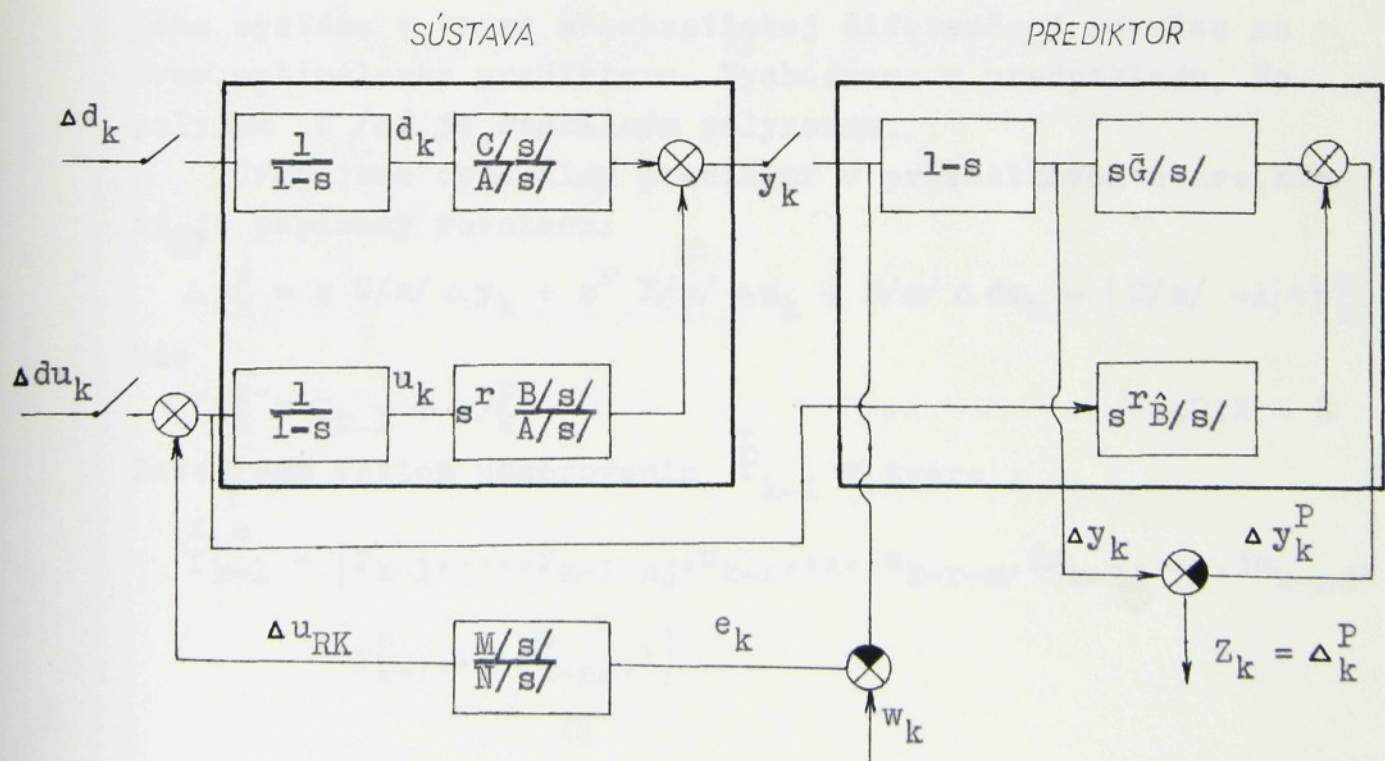
Súčasne platí rovnosť:

$$y_k = y_k^p + \Delta_k^p = f[y_{k-1}, U_{k-1}, Y_{k-1}^p, D_k, k] + \Delta_k^p \quad 2.2.2 - 4$$

kde

Δ_k^p je chyba predikcie.

Štruktúra predikcie s meranými veličinami je na obr. č. 3.



Obr. č. 3

Kvalitu prediktora je možné posudzovať podľa veľkosti chyby predikcie. Objavuje sa otázka, či existuje najlepší prediktor a akú musí mať chybu predikcie. Ak chyba predikcie bude rovná v práve diskrétnej hodnote bieleho šumu, t.j. že bude platiť $\Delta_k^p = d_k$, potom je možné hovoriť o najlepšej alebo o optimálnej predikcii, ktorá splňa rovnicu :

$$y_k - y_k^p = \Delta_k^p = d_k \quad 2.2.2 - 5$$

Potom sa často hovorí o optimálnom prediktore. V literatúre existuje celá rada prediktorov umožňujúcich predikovať výstup systému, ktorý je popísaný stochastickou diferenčnou rovnicou. Našim cieľom je nájsť vhodnú štruktúru a parametre prediktora, ktorého štruktúra a množina parametrov nám umožní identifikovať daný stochastický systém v uzavorennej slučke a ukazuje niektoré výhody tohto identifikačného schématu.

Ukážme spôsob prevedenia matematického modelu dynamickejho systému v tvare stochastickej diferenčnej rovnice na tvar optimálneho prediktora. Vychádzame z predpokladu, že polynom C/s je stabilným polynomom.

Uvažujeme optimálny prediktor v prírastkovom stave, ktorý je popísaný rovnicou:

$$\Delta y_k^p = s G/s / \Delta y_k + s^r B/s / \Delta u_k + D/s / \Delta d_m - [C/s / -1] \Delta y_k^p$$

kde

$$y_k^p = y_{k-1} + \Delta y_k^p \quad 2.2.2 - 6$$

Zavedieme vektor pozorovania Φ_{k-1} v tvare :

$$\Phi_{k-1}^T = [y_{k-1}, \dots, y_{k-1-nj}, u_{k-r}, \dots, u_{k-r-m}, d_{m_{k-1}}, \dots, d_{m_{k-nd}},$$

$$y_{k-1}^p, \dots, y_{k-nc}^p, 1]$$

a vektor koeficientov Θ má tvar :

$$\Theta^T = [g_0, g_1, \dots, g_{ng}, b_0, b_1, \dots, b_m, 1, 2, \dots, nd, -c_1, -c_2, \dots, -c_{nc}, \kappa]$$

Potom predikcia výstupu bude

$$y_k^p = \Theta^T \Phi_{k-1}$$

a pre výstup sústavy platí :

$$y_k = y_k^p + \Delta_k^p = \Theta^T \Phi_{k-1} + d_k \quad 2.2.2 - 7$$

podobne môžeme zaviesť vektor pozorovania a vektor koeficientov pre prediktor, ktorý je popísaný rovnicou 2.2.2 - 6.

$$\Phi_{k-1}^T = [\Delta y_{k-1}, \dots, \Delta y_{k-ny-1}, \Delta u_{k-r}, \dots, \Delta u_{k-r-m}, \Delta d_{k-1}, \dots, \Delta d_{k-nd}, \Delta y_{k-1}^p, \Delta y_{k-2}^p, \dots, \Delta y_{k-nc}^p]$$

$$\Theta^T = [g_0, g_1, \dots, g_{ng}, b_0, \dots, b_m, 1, \dots, nd, -c_1, -c_2, \dots, -c_{nc}]$$

Prediktor výstupu $- y_k^p$ bude potom daný rovnicou 2.2.2 - 7.

$$y_k^p = y_{k-1} + \Delta y_k^p \quad 2.2.2 - 8$$

kde

$$\Delta y_k^p = \Theta^T \Phi_{k-1}$$

a pre výstup zo sústavy platí :

$$y_k = y_k^p + \Delta_k^p = y_{k-1} + \Theta^T \Phi_{k-1} + \Delta d_k \quad 2.2.2 - 9$$

2.3. Návrh optimálneho riadenia pre adaptívne systémy.

Návrh optimálneho riadenia pre zvoleny matematický model je vyústením problematiky adaptívneho riadenia. Dôležitou otázkou zostáva spôsob využitia informácií o sústave obiahnutých v odhadoch z hľadiska adaptívneho riadiaceho systému.

2.3.1. Formulácia úlohy optimálneho riadenia pre adaptívne riadiace systémy.

Úlohou optimálneho riadenia je nájsť také prípustné riadenie pre daný dynamický systém, ktoré generuje vstup daného systému a minimalizuje dané kritérium akosti riadenia. Zvolené kritérium akosti riadenia musí zaručovať také hodnotenie kvality riadiaceho procesu, ktoré je v súlade s požiadavkami praxe. Existujú rôzne teórie akosti, ale najväčšie uplatnenie v syntéze riadenia dosiahlo kvadratické kritérium akosti riadenia, ktoré túto úlohu nielen rieší, ale dáva aj jednoduché algoritmy riadenia, ktoré sa dobre realizujú pomocou číslicovej riadiacej techniky.

V praxi existujú obmedzenia, ktoré z množiny riadenia vytvárajú množinu prípustných riešení. Sú to hlavne dve obmedzenia :

1. Aby prípustná množina bola fyzikálne realizovateľná.

Je to množina, ktorú získame operáciami nad množinou dát \mathcal{D}_k .

$$\mathcal{D}_k^T = [y_{k-1}, u_{k-1}, d_{m_{k-1}}, y_{k-2}, u_{k-2}, d_{m_{k-2}}, \dots, w^T] \quad 2.3.1 - 1$$

kde

y_{k-1}, y_{k-2}, \dots merané výstupy na sústave

u_{k-1}, u_{k-2}, \dots merané vstupy na sústave

$d_{m_{k-1}}, d_{m_{k-2}}, \dots$ merané poruchy na sústave

w^T

vektor vopred známych dát- obsahuje
žiadané hodnoty w_k pre celý interval
riadenia.

2. Aby prípustná množina zaistovala stabilitu uzavretého re-
gulačného obvodu pre N

$$\sum_{k=1}^{\infty} (y_k - w_k)^2 < \infty$$

2.3.1 - 2

Problém optimálneho riadenia.

Dynamický systém je popísaný stochastickou diferenčnou rovnicou :

$$A/s/ y_k = s B/s/ u_k + C/s/ d_k$$

kde

$$A/s/ = 1 + a_1 s + \dots + a_n s^n$$

$$B/s/ = b_0 + b_1 s + \dots + b_m s^m$$

$$C/s/ = 1 + c_1 s + \dots + c_l s^l$$

Kritérium akosti riadenia je v tvare :

$$J = \frac{1}{N} \cdot \epsilon \left\{ \sum_{k=1}^N [/ y_k - w_k /^2 + \omega u_k^2] \right\}$$

2.3.1 - 3

$$J = \frac{1}{N} \cdot \epsilon \left\{ \sum_{k=1}^N [/ y_k - w_k /^2 + \omega u_k^2] \right\}$$

2.3.1 - 4

kde

y_k - výstup systému v okamžiku k

w_k - žiadaná hodnota v okamžiku k

u_k - akčná veličina v okamžiku k

- Δu_k - prírastok akčnej veličiny v okamžiku k
 ω - váha akčnej veličiny
 N - interval riadenia
 $\varepsilon [\%]$ - stredná hodnota

Nájdenie optimálneho riadenia spočíva v nájdení rovníc regulátora.

$$u_k = - K_k \vartheta_k$$

kde

$$K_k = [s_{1k}, r_{1k}, q_{1k}, s_{2k}, r_{2k}, q_{2k}, \dots]$$

K_k je zpätnoväzobná matica koeficientov regulátora. Zaistuje minimalizáciu kvadratického kritéria a stabilitu uzatvoreného regulačného obvodu.

Syntéza riadenia vyžaduje ešte splnenie ďalších požiadavkov, ktoré sa priamo neobjavujú v bežnej syntéze. Patria sem:

1. Odhad parametrov sú zatažené chybou, ktorá v odhade prediktora spôsobuje chybu - biely šum d_k a chybu, ktorá zodpovedá chybám odhadu parametrov. Platí:

$$y_k - \hat{y}_k = z_k = d_k + \Delta p$$

kde

y_k - výstup sústavy

\hat{y}_k - predikcia výstupu

z_k - chyba odhadu predikcie

d_k - diskrétna hodnota bieleho šumu

Δp - chyba spôsobená chybami odhadu koeficientov G, B, C

2. Pre cieľ adaptívneho riadenia je potrebné použiť také algoritmy riadenia, ktoré budú optimálne riadiť " hneď po pripojení " - teda ktoré zaistia optimálne riadenie nielen stacionárnej časti regulačného procesu, ale i vlastného

prechodového dejá.

- 2.4. Návrh algoritmu riadenia pre optimálne vyrovnanie nemerateľnej poruchy sústav popísaných stochastickou diferenčnou rovnicou.

Návrh algoritmu riadenia vychádza z predpokladu, že polynom C/s/ je stabilný a je možné ho riešiť dvoma spôsobmi:

1. Použitím popisu sústavy rovnicou 2.3.1 - 1 a predpokladu, že d_k je stacionárna postupnosť bieleho šumu. Tento spôsob však nie je vhodný pre adaptívne riadenie, pretože sa nepodarilo nájsť vhodný algoritmus v tvare diferenčnej rovnice.
2. Vychádzame z predpokladu, že u sústav s meranou poruchou je možné vyjadriť zákon riadenia v tvare :

$$N/s/ u_k = M/s/ y_k + Q/s/v_k$$

2.4 - 1

kde

v_k - merateľná porucha

$N/s/, M/s/, Q/s/$ - polynomystupňa $\partial N, \partial M, \partial Q$

Základný predpoklad je rovnosť $d_k = v_k$.

Ak je polynom C/s/ stabilný, potom platí :

$$d_k = \frac{A/s/ y_k - s B/s/ u_k}{C/s/}$$

2.4 - 2

Po úprave dostaneme zákon riadenia, ktorý závisí len na vstupe a výstupe :

$$P_N/s/ u_k = P_M/s/ y_k$$

2.4 - 3

kde

$$PN/s/ = C/s/ N/s/ + Q/s/ B/s/$$

$$PM/s/ = C/s/ M/s/ + Q/s/ A/s/$$

2.5. Popis riadeného systému pre konečný interval riadenia.

Pre určenie optimálneho riadenia sa uvažuje interval riadenia konečnej dĺžky N . Začiatok súradného systému môžeme posunúť do libovolného indexu K_0 , ktorý neovplyvňuje výsledok syntézy.

Ak uvažujeme stochastickú diferenčnú rovnicu k indexu K_0 , potom model sústavy má tvar :

$$y_k + \sum_{i=1}^{\partial a} a_i y_{k-i} = \sum_{i=0}^{\partial b} b_i u_{k-i} + \sum_{i=0}^{\partial c} c_i d_{k-i} + K + \xi_k \quad 2.5 - 1$$

kde

ξ_k - chyba matematického modelu systému

Popis vývoja dynamického systému môžeme popísať sústavou N rovíc, vyjadrenú v maticovom tvare :

$$A y = B u + C d + K + \xi \quad 3.5 - 2$$

Vektory výstupu je možné vyjadriť z rovnice 2.3.1 - 2 v tvare:

$$Y = A^{-1} B u + A^{-1} C d + A^{-1} / K + \xi / \quad 2.5 - 3$$

Matematický model riadenej sústavy obsahuje náhodné zložky d_k a ξ_k , kde d_k je postupnosť stacionárneho gaussovského šumu. Pre vzájomnú korelačnú funkciu môžeme písat :

$$R_{ud} /i/ = \varepsilon \{ u_k d_{k+1} \} = 0 \quad \text{pre } i \geq 0$$

$$R_{du} /i/ = \varepsilon \{ u_{k+1} d_k \} \neq 0 \quad \text{pre } i \geq 1$$

Pre chybu ξ_k , ktorá nemá charakter bieleho šumu platí :

$$R_{u\xi} /i/ = \varepsilon \{ u_k \xi_{k+1} \} \neq 0 \quad \text{pre } i \geq 0$$

$$R_{\xi u} /i/ = \varepsilon \{ u_{k+1} \xi_k \} \neq 0 \quad \text{pre } i \geq 1$$

Pre zjednodušenie návrhu algoritmu zavedieme predpoklad, že budúce chyby predikcie v uvažovanom intervale časových indexov nezávisí na akčných zásahoch. Matematicky to znamená :

$$R_{u\xi} /i/ = \varepsilon \{ u_k \xi_{k+1} \} = 0 \quad \text{pre } i = 0, 1, \dots N$$

Dalej predpokladáme, že autokorelačné funkcie $R_{\xi\xi} /i/$ a $R_{dd} /i/$ nie je možné ovplyvniť voľbou stratégie riadenia.

3. S I M U L Á C I A .

V tejto diplomovej práci som v rámci simulácie upravil hotové programy, ktoré potom zabezpečovali zmenu zvolených parametrov v ľubovoľnom kroku na ľubovoľný násobok. Zmena parametrov môže byť buď skoková alebo spojité.

Upravený program bol vyskúšaný pre päť rôznych príkladov v troch variantách:

1. Skoková zmena koeficientov a_1, \dots, a_n na 1,5 násobok pôvodných hodnôt.
2. Skoková zmena koeficientov b_0, \dots, b_m na dvojnásobok pôvodných hodnôt.
3. Spojitá zmena koeficientov b_0, \dots, b_m . Závislosť spojitej zmeny parametrov je sínusová so zosilením rovným 2.

Pre varianty 1. a 2. platí:

- počet krovkov simulácie - 3000
- začiatok identifikácie v kroku - 0
- začiatok adaptácie v kroku - 1000
- zmena parametrov v kroku - 2000

Pre variantu 3. platí:

- počet krovkov simulácie - 4000
- začiatok identifikácie v kroku - 0
- začiatok adaptácie v kroku - 1000
- začiatok spojitej zmeny parametrov v kroku - 2000
- koniec spojitej zmeny parametrov v kroku - 3000

V ďalšej časti sú uvedené použité príklady a výsledky simulácie.

Príklad č.1

Stabilná spojité sústava prvého rádu
s nulovým dopravným oneskorením.

Pre polynomy tejto sústavy platí:

$$A/s = 1 - 0,5s$$

$$B/s = 0,5$$

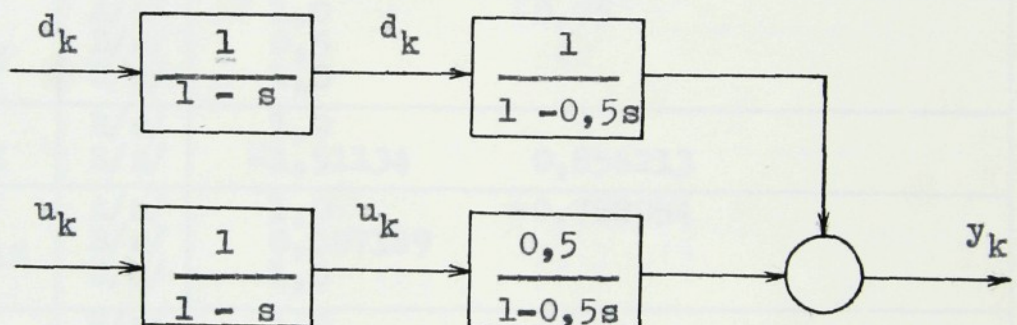
$$C/s = 1$$

Korene čitateľa: $s_1 = 0$

Korene menovateľa: $s_1 = 1$

$$s_2 = 2$$

Štruktúra tejto sústavy je na obr. č. 4.



Obr.č.4

Výsledky simulácie sú zhrnuté v tabuľkách 1,2,3 pre jednotlivé varianty príkladu.

Tab.č.1 Skoková změna koeficientu a_1

S	A/s/ B/s/ C/s/	1,0 0,5 1,0	-0,5
R	R/s/ S/s/	1,0 -1,2079	0,50274
S_I	A/s/ B/s/ C/s/	1,0 0,49021 1,0	-0,436573
R_I	R/s/ S/s/	1,0 -1,14874	0,428227
S_A	A/s/ B/s/ C/s/	1,0 0,465517 1,0	-0,443228
R_A	R/s/ S/s/	1,0 -1,17506	0,445909
S_Z	A/s/ B/s/ C/s/	1,0 0,5 1,0	-0,75
R_Z	R/s/ S/s/	1,0 -1,51134	0,856213
S_{AZ}	A/s/ B/s/ C/s/	1,0 0,697189 1,0	-0,768954
R_{AZ}	R/s/ S/s/	1,0 -1,30942	0,720833

J_O	1,01103		
J_I	1,01410	σ_I [%]	0,3036
J_A	1,01286	σ_A [%]	0,1810
J_Z	1,32996		
J_{AZ}	1,36846	σ_{AZ} [%]	2,8948

Tab.č.2 Skoková zmena koeficientu b_0

S	A/s/ B/s/ C/s/	1,0 0,5 1,0	-0,5
R	R/s/ S/s/	1,0 -1,2079	0,50274
S_I	A/s/ B/s/ C/s/	1,0 0,49021 1,0	-0,436573
R_I	R/s/ S/s/	1,0 -1,14874	0,428227
S_A	A/s/ B/s/ C/s/	1,0 0,489017 1,0	-0,466112
R_A	R/s/ S/s/	1,0 -1,18062	0,46496
S_Z	A/s/ B/s/ C/s/	1,0 1,0 1,0	-0,5
R_Z	R/s/ S/s/	1,0 -0,900688	0,346357
S_{AZ}	A/s/ B/s/ C/s/	1,0 0,811062 1,0	-0,419023
R_{AZ}	R/s/ S/s/	1,0 -0,936613	0,320556

J_o	1,01103		
J_I	1,01410	$\sigma_I [\%]$	0,3036
J_A	1,01180	$\sigma_A [\%]$	0,0762
J_Z	2,225431		
J_{AZ}	2,26669	$\sigma_{AZ} [\%]$	1,8540

Tab.č.3 Spojitá zmena koeficientu b_0

S	A/s/ B/s/ C/s/	1,0 0,5 1,0	-0,5
R	R/s/ S/s/	1,0 -1,2079	0,50274
S _I	A/s/ B/s/ C/s/	1,0 0,49021 1,0	-0,436573
R _I	R/s/ S/s/	1,0 -1,14874	0,428227
S _A	A/s/ B/s/ C/s/	1,0 0,445745 1,0	-0,423973
R _A	R/s/ S/s/	1,0 -1,17003	0,429387
S _Z	A/s/ B/s/ C/s/	1,0 1,0 1,0	-0,5
R _Z	R/s/ S/s/	1,0 -0,900688	0,346357
S _{AZ}	A/s/ B/s/ C/s/	1,0 0,522035 1,0	-0,468102
R _{AZ}	R/s/ S/s/	1,0 -1,15663	0,454014

J _o	1,01103		
J _I	1,01410	δ_I [%]	0,3037
J _A	1,01420	δ_A [%]	0,3135
J _{ZA}	1,01261	δ_{ZA} [%]	0,1563
J _Z	2,22543		
J _{ZI}	1,01675	δ_{ZI} [%]	-54,312

Výsledky z počítača sú priložené v prílohách č.I. až V.

Príloha č. I. - Optimálne regulátory.

Príloha č. II. - Simulácia pre variantu č. 1.

Príloha č. III. - Simulácia pre variantu č. 2.

Príloha č. IV. - Simulácia pre variantu č. 3.

Príloha č. V. - Kvadratické kritérium a grafický priebeh
regulačného pochodu.

Príklad č. 2

Stabilná spojité sústava prvého rádu
so spojitým dopravným oneskorením.

Pre polynomy tejto sústavy, štruktúra ktorej je na obr.č.5,
platí :

$$A/s/ = 1 - 0,5s$$

$$B/s/ = 0,3 + 0,2s$$

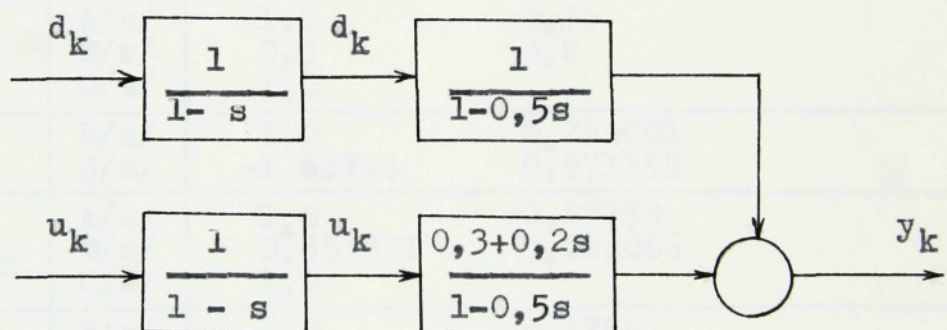
$$C/s/ = 1$$

Korene čitateľa : $s_1 = 0$

$$s_2 = -1,5$$

Korene menovateľa : $s_1 = 1$

$$s_2 = 2$$



Obr.č. 5

Výsledky simulácie pre jednotlivé varianty sú uvedené v tabuľkách 4,5,6.

Tab.č.4 Skoková zmena koeficientu a_1

S	A/s/ B/s/ C/s/	1,0 0,3 1,0	-0,5 0,2
R	R/s/ S/s/	1,0 -1,26935	0,220287 0,550716
S _I	A/s/ B/s/ C/s/	1,0 0,247653 1,0	-0,389231 0,224467
R _I	R/s/ S/s/	1,0 -1,16075	0,236916 0,410818
S _A	A/s/ B/s/ C/s/	1,0 0,29727 1,0	-0,479152 0,173366
R _A	R/s/ S/s/	1,0 -1,26214	0,191532 0,52936
S _Z	A/s/ B/s/ C/s/	1,0 0,3 1,0	-0,75 0,2
R _Z	R/s/ S/s/	1,0 -1,63744	0,259001 0,971255
S _{AZ}	A/s/ B/s/ C/s/	1,0 0,557331 1,0	-0,87759 0,168066
R _{AZ}	R/s/ S/s/	1,0 -1,48888	0,1756 0,91693

J _O	1,03027		
J _I	1,06542	σ_I [%]	3,4120
J _A	1,03375	σ_A [%]	0,3378
J _Z	1,40437		
J _{AZ}	1,46399	σ_{AZ} [%]	4,2450

Tab.č.5 Skoková zmena koeficientov b_0 , b_1

S	A/s/ B/s/ C/s/	1,0 0,3 1,0	-0,5 0,2
R	R/s/ S/s/	1,0 -1,26935	0,220287 0,550716
S_I	A/s/ B/s/ C/s/	1,0 0,247653 1,0	-0,389231 0,224467
R_I	R/s/ S/s/	1,0 -1,16075	0,236916 0,410818
S_A	A/s/ B/s/ C/s/	1,0 0,300579 1,0	-0,480215 0,1895
R_A	R/s/ S/s/	1,0 -1,25052	0,207055 0,5247
S_Z	A/s/ B/s/ C/s/	1,0 0,6 1,0	-0,5 0,4
R_Z	R/s/ S/s/	1,0 -0,986548	0,321711 0,402139
S_{AZ}	A/s/ B/s/ C/s/	1,0 0,445828 1,0	-0,413753 0,3632
R_{AZ}	R/s/ S/s/	1,0 -1,00382	0,315688 0,359628

J_0	1,03027		
J_I	1,06542	Δ_I [%]	3,4120
J_A	1,03564	Δ_A [%]	0,5212
J_Z	2,23098		
J_{AZ}	2,22788	Δ_{AZ} [%]	-0,1390

Tab.č.6 Spojitá zmena koeficientov b_0 , b_1

S	A/s/ B/s/ C/s/	1,0 0,3 1,0	-0,5 0,2
R	R/s/ S/s/	1,0 -1,26935	0,220287 0,550716
S_I	A/s/ B/s/ C/s/	1,0 0,247653 1,0	-0,389231 0,224467
R_I	R/s/ S/s/	1,0 -1,16075	0,236916 0,410818
S_A	A/s/ B/s/ C/s/	1,0 0,294516 1,0	-0,478267 0,159931
R_A	R/s/ S/s/	1,0 -1,27203	0,178346 0,533337
S_Z	A/s/ B/s/ C/s/	1,0 0,6 1,0	-0,5 0,4
R_Z	R/s/ S/s/	1,0 -0,986548	0,321711 0,402139
S_{AZ}	A/s/ B/s/ C/s/	1,0 0,341032 1,0	-0,508402 0,192516
R_{AZ}	R/s/ S/s/	1,0 -1,24885	0,205977 0,543952

J_o	1,03027		
J_I	1,06542	σ_I [%]	3,4117
J_A	1,03287	σ_A [%]	0,2520
J_{ZA}	1,03562	σ_{ZA} [%]	0,5190
J_Z	2,23098		
J_{ZI}	1,05648	σ_{ZA} [%]	-52,645

Príklad č. 3

Stabilná spojité sústava druhého rádu
s nulovým dopravným oneskorením a kom-
plexným koreňom .

Pre polynomy sústavy platí :

$$A/s = 1 - 1,0724621s + 0,49s^2$$

$$B/s = 0,749495 - 0,331975s$$

$$C/s = 1$$

Korene čitateľa : $s_1 = 0$

$$s_2 = 2,257805$$

Korene menovateľa: $s_1 = 1$

$$s_{2,3} = 1,094349 \pm 1,799562 i$$

Výsledky simulácie pre jednotlivé varianty sú spraco-
vané v tabuľkách 7,8,9.

Tab.č.7 Skoková zmena koeficientov a_1 , a_2

S	A/s/ B/s/ C/s/	1,0 0,749495 1,0	-1,07246 -0,331957	0,49
R	R/s/ S/s/	1,0 -1,50252	-0,340542 1,39573	-0,502669
S_I	A/s/ B/s/ C/s/	1,0 0,686216 1,0	-0,933674 -0,279812	0,466322
R_I	R/s/ S/s/	1,0 -1,39606	-0,287466 1,22455	-0,479075
S_A	A/s/ B/s/ C/s/	1,0 0,629304 1,0	-0,883873 -0,216869	0,381592
R_A	R/s/ S/s/	1,0 -1,40768	-0,230365 1,14698	-0,405341
S_Z	A/s/ B/s/ C/s/	1,0 0,749495 1,0	1,60869 -0,331957	0,735
R_Z	R/s/ S/s/	1,0 -2,08685	-0,388584 1,43592	-0,860364
S_{AZ}	A/s/ B/s/ C/s/	1,0 0,793731 1,0	-1,38942 0,030356	0,301987
R_{AZ}	R/s/ S/s/	1,0 -1,7035	0,0297225 1,532	-0,293749

J_o	2,74751		
J_I	2,86614	Δ_I [%]	4,3177
J_A	2,68232	Δ_A [%]	-2,3730
J_Z	16,16310		
J_{AZ}	15,74660	Δ_{AZ} [%]	-2,5769

Tab.č.8 Skoková zmena koeficientov b_0 , b_1

S	A/s/ B/s/ C/s/	1,0 0,749495 1,0	-1,07246 -0,331957	0,49
R	R/s/ S/s/	1,0 -1,50252	-0,340542 1,39573	-0,502669
S _I	A/s/ B/s/ C/s/	1,0 0,686216 1,0	-0,933674 -0,279812	0,466322
R _I	R/s/ S/s/	1,0 -1,39606	-0,287466 1,22455	-0,479075
S _A	A/s/ B/s/ C/s/	1,0 0,626908 1,0	-0,878344 -0,203071	0,377572
R _A	R/s/ S/s/	1,0 -1,39892	-0,215013 1,1344	-0,399777
S _Z	A/s/ B/s/ C/s/	1,0 1,49899 1,0	-1,07246 -0,663914	0,49
R _Z	R/s/ S/s/	1,0 -1,01535	-0,397189 0,867219	-0,293144
S _{AZ}	A/s/ B/s/ C/s/	1,0 1,41004 1,0	-1,07606 -0,681862	0,466541
R _{AZ}	R/s/ S/s/	1,0 -1,07014	-0,432222 0,905439	-0,295733

J _O	2,74751		
J _I	2,86614	δ_I [%]	4,3177
J _A	2,70927	δ_A [%]	-1,3918
J _Z	6,43002		
J _{AZ}	6,87345	δ_{AZ} [%]	6,896

Tab.č.9 Spojitá zmena koeficientov b_0 , b_1

S	A/s/ B/s/ C/s/	1,0 0,749495 1,0	-1,07246 -0,331957	0,49
R	R/s/ S/s/	1,0 -1,50252	-0,340542 1,39573	-0,502669
S _I	A/s/ B/s/ C/s/	1,0 0,686216 1,0	-0,933674 -0,279812	0,466322
R _I	R/s/ S/s/	1,0 -1,39606	-0,287466 1,22455	-0,479075
S _A	A/s/ B/s/ C/s/	1,0 0,63449 1,0	-0,895844 -0,24674	0,390296
R _A	R/s/ S/s/	1,0 -1,42664	-0,26386 1,17422	-0,417378
S _Z	A/s/ B/s/ C/s/	1,0 1,49899 1,0	-1,07246 -0,663914	0,49
R _Z	R/s/ S/s/	1,0 -1,01535	-0,397189 0,867219	-0,293144
S _{AZ}	A/s/ B/s/ C/s/	1,0 0,672685 1,0	-0,901904 -0,223015	0,378842
R _{AZ}	R/s/ S/s/	1,0 -1,38985	-0,229177 1,13441	-0,389308

J _o	2,74751		
J _I	2,86614	o _I [%]	4,3180
J _A	2,63016	o _A [%]	-4,2710
J _{ZA}	2,66181	o _{ZA} [%]	-3,1190
J _Z	6,43002		
J _{ZI}	1,84866	o _{ZI} [%]	-71,249

Príklad č. 4 Spojitá stabilná sústava prvého rádu
s nulovým dopravným oneskorením.

Polynomy tejto sústavy sú popísané rovnicami :

$$A/s/ = 1 - 0,5s$$

$$B/s/ = 0,5$$

$$C/s/ = 1 + 0,25s$$

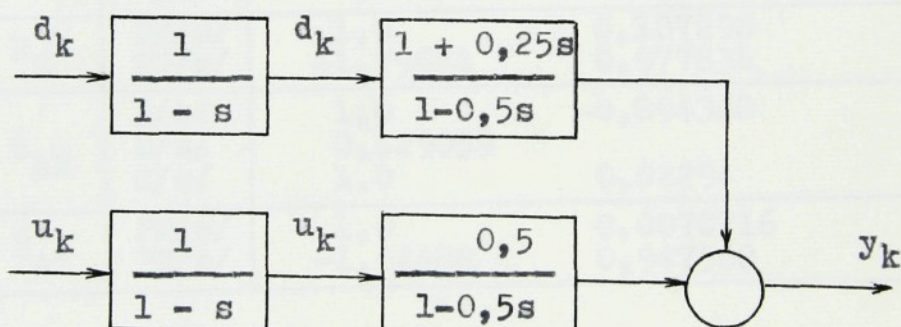
Korene čitateľa : $s_1 = 0$

Korene menovateľa: $s_1 = 1$

$$s_2 = 2$$

Korene polynomu C/s/ : $s_1 = -4$

Štruktúra sústavy je na obr. č. 6.



Obr.č.6

Výsledky simulácie sú v tabuľkách 10,11,12.

Tab.č.10 Skoková zmena koeficientu a_1

S	A/s/ B/s/ C/s/	1,0 0,5 1,0	-0,5
R	PM/s/ PN/s/	1,0 -1,45927	0,124315 0,57782
S_I	A/s/ B/s/ C/s/	1,0 0,524026 1,0	-0,404518 0,328357
R_I	PM/s/ PN/s/	1,0 -1,40044	0,166982 0,453174
S_A	A/s/ B/s/ C/s/	1,0 0,46698 1,0	-0,443561 0,240165
R_A	PM/s/ PN/s/	1,0 -1,41559	0,127461 0,512132
S_Z	A/s/ B/s/ C/s/	1,0 0,5 1,0	-0,75 0,25
R_Z	PM/s/ PN/s/	1,0 -1,79674	0,107298 0,977836
S_{AZ}	A/s/ B/s/ C/s/	1,0 0,629059 1,0	-0,894308 0,02294
R_{AZ}	PM/s/ PN/s/	1,0 -1,54488	0,0078216 0,947568

J_o	1,04491		
J_I	1,03235	δ_I [%]	-1,2020
J_A	1,03381	δ_A [%]	-1,0623
J_Z	1,33057		
J_{AZ}	1,33857	δ_{AZ} [%]	0,6012

Tab. č. 11 Skoková zmena koeficientu b_0

S	A/s/ B/s/ C/s/	1,0 0,5 1,0	-0,5 0,25
R	PM/s/ PN/s/	1,0 -1,45927	0,124315 0,57782
S _I	A/s/ B/s/ C/s/	1,0 0,524026 1,0	-0,404518 0,328357
R _I	PM/s/ PN/s/	1,0 -1,40044	0,166982 0,453174
S _A	A/s/ B/s/ C/s/	1,0 0,50478 1,0	-0,444835 0,289022
R _A	PM/s/ PN/s/	1,0 -1,42731	0,147091 0,507749
S _Z	A/s/ B/s/ C/s/	1,0 1,0 1,0	-0,5 0,25
R _Z	PM/s/ PN/s/	1,0 -1,07387	0,076821 0,380953
S _{AZ}	A/s/ B/s/ C/s/	1,0 0,566496 1,0	-0,667508 -0,361286
R _{AZ}	PM/s/ PN/s/	1,0 -0,961762	-0,152011 0,547462

J _o	1,04491		
J _I	1,03235	δ_I [%]	-1,2020
J _A	1,03710	δ_A [%]	-0,7470
J _Z	2,35842		
J _{AZ}	2,29698	δ_{AZ} [%]	-2,6050

Tab.č.12 Spojitá zmena koeficientu b_0

S	A/s/ B/s/ C/s/	1,0 0,5 1,0	-0,5 0,25
R	PM/s/ PN/s/	1,0 -1,45927	0,124315 0,57782
S _I	A/s/ B/s/ C/s/	1,0 0,524026 1,0	-0,404518 0,328357
R _I	PM/s/ PN/s/	1,0 -1,40044	0,166982 0,453174
S _A	A/s/ B/s/ C/s/	1,0 0,435139 1,0	-0,442487 0,199009
R _A	PM/s/ PN/s/	1,0 -1,40485	0,109496 0,515488
S _Z	A/s/ B/s/ C/s/	1,0 1,0 1,0	-0,5 0,25
R _Z	PM/s/ PN/s/	1,0 -1,07387	0,076821 0,380953
S _{AZ}	A/s/ B/s/ C/s/	1,0 0,491941 1,0	-0,528505 0,132065
R _{AZ}	PM/s/ PN/s/	1,0 -1,38224	0,065252 0,586495

J ₀	1,04491		
J _I	1,03235	$\Delta_I [\%]$	-1,2020
J _A	1,03123	$\Delta_A [\%]$	-1,3090
J _{ZA}	1,02698	$\Delta_{ZA} [\%]$	-1,7160
J _Z	2,35842		
J _{ZI}	0,875249	$\Delta_{ZI} [\%]$	-62,8880

Výsledky z počítača sú priložené v prílohách č.VI.až X.

Príloha č. VI. - Optimálne regulátory.

Príloha č. VII. - Simulácia pre variantu č.1.

Príloha č. VIII. - Simulácia pre variantu č. 2.

Príloha č. IX. - Simulácia pre variantu č. 3.

Príloha č. X. - Kvadratické kritérium a grafický priebeh
regulačného pochodu.

Príklad č. 5 Stabilná nulová sústava druhého rádu
s komplexným koreňom.

Polynomy sústavy sú popísané vzťahmi :

$$A/s/ = 1 - 1,072462s + 0,49s^2$$

$$B/s/ = 0,749495 - 0,331957s$$

$$C/s/ = 1 - 0,7s + 0,1s^2$$

Korene čitateľa : $s_1 = 0$
 $s_2 = 2,2578$

Korene menovateľa: $s_1 = 1$
 $s_{2,3} = 1,094349 \pm 1,79956 i$

Koreme polynomu C/s/ : $s_1 = 5$
 $s_2 = 2$

Výsledky simulácie sú usporiadane v tabuľkách 13, 14, 15.

	0,6927		
	0,7353	0,191	0,3680
	0,85394	0,181	-0,2454
	20,9050		
	26,72320	0,181	0,3680

Tab. č. 13 Skoková zmena koeficientov a_1 , a_2

S	A/s/ B/s/ C/s/	1,0 0,749495 1,0	-1,40725 -0,331957 -0,7	0,49 0,1
R	PM/s/ PN/s/	1,0 -1,17396	-0,513893 1,36525	0,029424 -0,90824
S_I	A/s/ B/s/ C/s/	1,0 1,39965 1,0	-1,44981 -0,387438 -0,02099	0,325116 -0,006683
R_I	PM/s/ PN/s/	1,0 -1,26789	-0,251733 1,09135	-0,001055 -0,209825
S_A	A/s/ B/s/ C/s/	1,0 0,966072 1,0	-0,963993 0,086037 -0,019753	-0,077353 -0,036076
R_A	PM/s/ PN/s/	1,0 -1,21941	0,071634 0,707599	-0,008297 0,059019
S_Z	A/s/ B/s/ C/s/	1,0 0,749495 1,0	-2,11087 -0,331957 -0,7	0,735 0,1
R_Z	PM/s/ PN/s/	1,0 -1,96414	-0,484654 2,52354	0,01791 -0,728627
S_{AZ}	A/s/ B/s/ C/s/	1,0 0,749445 1,0	-1,91168 -0,182886 0,192636	0,403086 -0,069984
R_{AZ}	PM/s/ PN/s/	1,0 -2,74483	-0,177208 2,78308	-0,012532 -0,513218

J_o	8,61517		
J_I	8,90530	Δ_I [%]	3,3680
J_A	6,85304	Δ_A [%]	-20,454
J_Z	25,94850		
J_{AZ}	26,72330	Δ_{AZ} [%]	2,9860

Tab.č.14 Skoková zmena koeficientov b_0 , b_1

S	A/s/ B/s/ C/s/	1,0 0,749495 1,0	-1,40725 -0,331957 -0,7	0,49 0,1
R	PM/s/ PN/s/	1,0 -1,17396	-0,513893 1,36525	0,029424 -0,40824
S _I	A/s/ B/s/ C/s/	1,0 1,39965 1,0	-1,44981 -0,387438 -0,020993	0,325116 -0,006683
R _I	PM/s/ PN/s/	1,0 -1,26789	-0,251733 1,09135	-0,001055 -0,209825
S _A	A/s/ B/s/ C/s/	1,0 0,80639 1,0	-0,780846 0,159568 -0,020117	-0,143089 -0,021435
R _A	PM/s/ PN/s/	1,0 -1,19778	0,131141 0,576944	-0,005932 0,116647
S _Z	A/s/ B/s/ C/s/	1,0 1,49899 1,0	-1,40725 -0,663914 -0,7	0,49 0,1
R _Z	PM/s/ PN/s/	1,0 -0,789252	-0,482392 0,880168	0,016531 -0,253538
S _{AZ}	A/s/ B/s/ C/s/	1,0 0,512317 1,0	-0,558987 0,235763 -0,476934	-0,151326 -0,261496
R _{AZ}	PM/s/ PN/s/	1,0 -0,636936	0,054246 0,378246	-0,100065 0,096885

J ₀	8,61517		
J _I	8,90530	Δ_I [%]	3,3680
J _A	8,31900	Δ_A [%]	-3,4380
J _Z	12,58300		
J _{AZ}	14,21030	Δ_{AZ} [%]	12,9330

Tab.č.15 Spojité změna koeficientov b_0 , b_1

S	A/s/ B/s/ C/s/	1,0 0,749495 1,0	-1,40725 -0,331957 -0,7	0,49 0,1
R	PM/s/ PN/s/	1,0 -1,17396	-0,513893 1,36525	0,029424 -0,40824
S_I	A/s/ B/s/ C/s/	1,0 1,39965 1,0	-1,44981 -0,387438 -0,02993	0,325116 -0,006682
R_I	PM/s/ PN/s/	1,0 -1,26789	-0,251733 1,09135	-0,001055 -0,209825
S_A	A/s/ B/s/ C/s/	1,0 0,761536 1,0	-0,729401 0,180223 -0,020219	-0,161554 -0,017322
R_A	PM/s/ PN/s/	1,0 -1,19054	0,148985 0,537106	-0,005046 0,143396
S_Z	A/s/ B/s/ C/s/	1,0 1,49899 1,0	-1,40725 -0,663914 -0,7	0,49 0,1
R_Z	PM/s/ PN/s/	1,0 -1,17396	-0,513893 1,36525	0,029424 -0,40824
S_{AZ}	A/s/ B/s/ C/s/	1,0 0,5077 1,0	-0,482392 0,217981 -0,384405	-0,01653 0,04929
R_{AZ}	PM/s/ PN/s/	1,0 -0,789252	0,032381 0,880168	0,01708 -0,253538

J_{\bullet}	8,61517		
J_I	8,90530	σ_I [%]	3,3680
J_A	8,57145	σ_A [%]	-0,5070
J_{ZA}	9,91904	σ_{ZA} [%]	15,1420
J_Z	12,58300		
J_{ZI}	1,45654	σ_{ZI} [%]	-88,424

4. Z H O D N O T E N I E A Z Á V E R .

Mojou úlohou v rámci tejto diplomovej práce bolo upraviť programy na identifikáciu parametrov modelu. Zmena programu bola vyskúšaná na viacerých príkladoch, v ktorých bolo sledované chovanie modelu v závislosti na zmenách parametrov skutočnej sústavy.

Na základe získaných výsledkov možno konštatovať, že simulácia príkladov splnila očakávanie. Identifikácia parametrov modelu sa uspokojivo blížila skutočným hodnotám sústavy, aj keď presnosť bola niekedy málo dostatočná. Možno povedať, že parametre modelu sledujú aj zmenu parametrov sústavy. Väčšie priblíženie hodnôt parametrov modelu k skutočným hodnotám sústavy je možné docieliť zväčšením počtu krokov simulácie alebo zvýšením času na prispôsobenie sa novým podmienkám.

V Liberci 24.5.1984

Hagy Ján

Zoznam použitej literatúry.

- / 1 / Hanuš, B. a kol.: Základy technickej kybernetiky II.
skripta VŠST Liberec 1980
- / 2 / Hanuš, B. a kol.: Teória automatického riadenia I.
skripta VŠST Liberec 1981
- / 3 / Modrlák, O.: Adaptívne riadenie tepelne technických
procesov ; kandidátska dizertačná práca, Liberec 1983
- / 4 / Strejc, V.: Stavová teória lineárneho diskrétneho ria-
denia, SNTL / ALFA, 1981
- / 5 / Kotek, Z. a kol.: Adaptívne a učiace sa systémy,
SNTL / ALFA, 1980

V801T
34